Shunts de mesure

Capteurs de mesure

de 1 à 4000 A

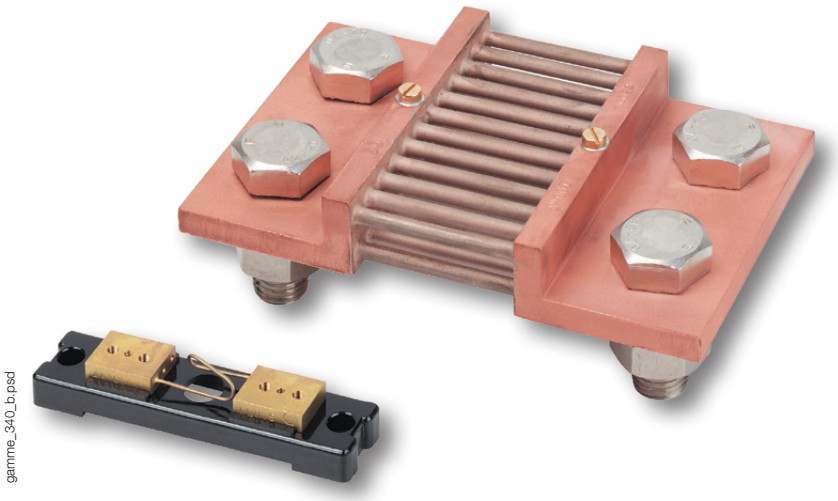

Composition de la gamme

- 20 calibres, de 1 à 4000 A, en 100 mV
- Autres calibres et tensions secondaires disponibles, veuillez nous consulter

Fonction

Les shunts assurent une mesure indirecte du courant continu en créant une chute de tension normalisée.

Caractéristiques générales

- 20 calibres, de 1 à 4000 A, en 100 mV.
- Autres calibres et tensions secondaires disponibles : nous consulter.
- Chute de tension : 100 mV pour le calibre nominal.
- Classe de précision : 0,5.
- Surcharge permanente : 1,2 In.
- 10 In / 5s calibre ≤ 500 A 5 In / 5s calibre 600 à 1500 A 2 In / 5s calibre ≥ 2500 A.

Références

Calibre (A)[1]	Chute de tension secondaire	Série DIN Référence
1 A	100 mV	192S **2101**
6 A	100 mV	192S **2106**
10 A	100 mV	192S **2110**
15 A	100 mV	192S **2112**
25 A	100 mV	192S **2114**
40 A	100 mV	192S **2116**
60 A	100 mV	192S **2118**
100 A	100 mV	192S **2120**
150 A	100 mV	192S **2125**
200 A	100 mV	192S **2220**
250 A	100 mV	192S **2235**
300 A	100 mV	192S **2230**
400 A	100 mV	192S **2240**
600 A	100 mV	192S **2250**
1000 A	100 mV	192S **2255**
1500 A	100 mV	192S **2260**
2500 A	100 mV	192S **2165**
4000 A	100 mV	192S **2170**

(1) Autres calibres : veuillez nous consulter.

socomec Innovative Power Solutions

Dimensions

Série DIN de 1 à 25 A

Fig. 1

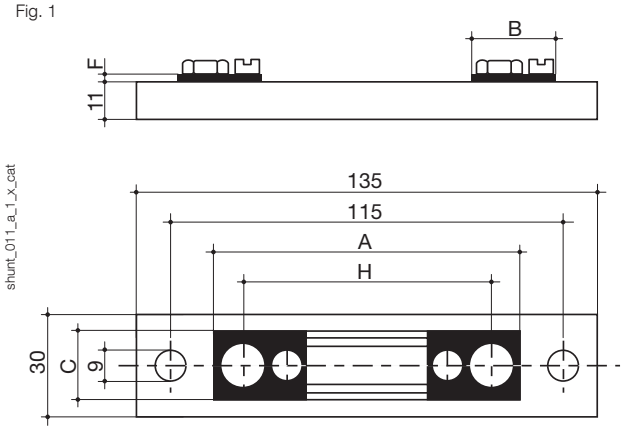

Calibre (A)(1)	Figure	A	B	C	D	E	F	G	H	I
1	1	90	28	20			8		78	
4	1	90	28	20			8		78	
6	1	90	28	20			8		78	
10	1	90	28	20			8		78	
15	1	90	28	20			8		78	
25	1	90	28	20			8		78	
40	2	123	33	20			8		103	
60	2	123	33	20			8		103	
100	2	123	33	20			8		103	
150	2	123	33	20			8		103	
200	2	168	55	30	15		10	10	128	30
250	2	168	55	30	15		10	10	128	30
300	2	168	55	40	20		10	10	128	30
400	2	168	55	40	20		10	10	128	30
600	2	168	55	40	20		10	10	128	30
1000	2	188	65	60	30		10	10	138	30
1500	3	188	65	90	21	48	10	10	138	30
2500	3	188	65	120	30	60	10	10	138	30
4000	3	188	65	120	30	60	15	10	138	60

(1) Raccordement : 2 vis M5 x 8 et 2 rondelles Ø 5,3 mm.

Série DIN de 40 à 1000 A

Fig. 2

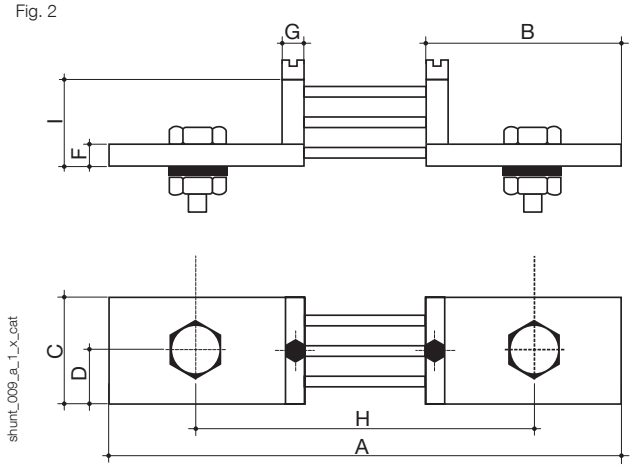

Série DIN de 1500 à 4000 A
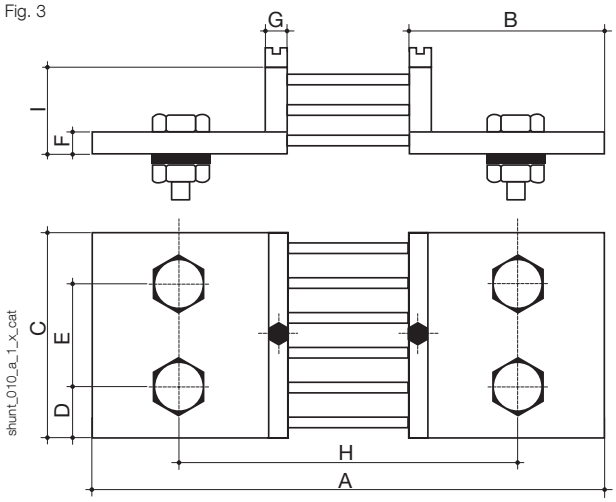
Fig. 3